

活体细胞内 p53 与 I_KB_α 的相互作用及其核穿梭过程 *

李 贤¹⁾ 邢 达^{1) **} 陈小佳²⁾ 唐永红¹⁾
孙奋勇²⁾ 汪 炬²⁾ 洪 岸²⁾ 吴云霞¹⁾

(¹华南师范大学激光生命科学研究所, 广州 510631; ²暨南大学生物工程研究所, 广州 510632)

摘要 通过构建 6 种荧光融合蛋白载体 pECFP-I_KB_α、pECFP-I_KB_αM、pECFP-I_KB_α243N、pECFP-I_KB_α244C、pp53-DsRed 和 pp53/47C-DsRed, 应用激光共聚焦显微镜, 观测静止细胞内 p53 与 I_KB_α 及其各种突变体的定位特点及相互作用关系, 直观地说明了活体细胞内的 p53 可与 I_KB_α 的 C 端的 PEST 区发生相互作用, p53 的 N 端也参与了 p53·I_KB_α 复合体的形成。同时, 实时观测外界刺激下细胞内 DsRed/CFP 两荧光比值的变化, 探讨 p53·I_KB_α 复合体形成与解离的动力学平衡, 细霉素 B(leptomycin B, LMB) 作用下细胞内 p53 与 I_KB_α 的动力学分布、及核穿梭动态过程的意义。I_KB_α 蛋白可能已经成为 p53 和 NF-κB 信号通路的一个交叉点, 从而扩展了对于这两条重要信号通路调控的认识。

关键词 p53, I_KB_α, 核转录因子 -κB, 荧光共振能量转移

学科分类号 Q2, Q6, R3

I_KB_α (inhibitor of NF-κB alpha) 是核转录因子 -κB (nuclear factor-κB, NF-κB) 的抑制因子, 普遍存在于各种类型细胞中, I_KB_α 蛋白可以在胞浆中通过其锚蛋白重复序列区 (ankyrin repeat domain, ARD) 与 NF-κB 的 Rel 同源区 RHD (Rel homology domain, RHD) 结合形成复合物, 抑制 NF-κB 进入细胞核发挥转录激活作用, 使其以一种无活性的状态存在于胞浆中^[1~3]。I_KB_α 调控 NF-κB 的具体过程十分复杂。目前研究比较清楚的是细胞因子 TNF-α 和 IL-1^[4~6]借助受体将信号传递到 NF-κB 诱导激酶 (NF-κB inducing kinase, NIK), 之后通过激活 I_KB 激酶 (I_KB kinase, IKK) 使 I_KB_α 第 32 和 36 位丝氨酸发生磷酸化, 随后 I_KB_α 被泛素化而降解。I_KB_α 的降解使得 NF-κB·I_KB_α 复合体解离, 从而允许游离的 NF-κB 二聚体迁移到细胞核内, 诱导相关基因的表达^[7~10]。

p53 蛋白也是以一个转录因子的身份来发挥其众多的重要作用, 其与多种细胞功能有关, 包括基因转录、DNA 修复、周期调控、基因组稳定以及程序性细胞死亡等等。最近的研究表明, I_KB_α 在胞浆内不仅可与 NF-κB 相结合, 也可与 p53 蛋白发

生相互作用^[11]。但 I_KB_α 与 p53 的相互作用关系与调控机制还不清楚。本实验通过构建青色荧光蛋白 (CFP) 与 I_KB_α (全长 I_KB_α, 为 1~317 个氨基酸) 及其突变体 I_KB_αM(S32A, S36A, 第 32 和 36 位丝氨酸突变为丙氨酸, 不能发生磷酸化也不能被降解^[12])、I_KB_α243N(含有锚蛋白重复序列, 但缺乏 C 端的 PEST 区, 1~243 个氨基酸) 和 I_KB_α244C(含有 C 端的 PEST 区, 244~317 个氨基酸) 的融合蛋白载体, 并利用红色荧光蛋白 DsRed 与 p53 的融合蛋白载体 pp53-DsRed, 应用激光共聚焦显微镜, 观测活体细胞内 p53 与 I_KB_α 及其各种突变体的定位及相互作用关系, 并实时地观测其在 UV 和细霉素 B(leptomycin B, LMB) 作用下细胞内定位的变化, 及其核穿梭过程, 进一步探讨 p53·I_KB_α 复合体的动力学分布及其意义。

*国家自然科学基金面上项目 (60378043, 30470494) 和广东省自然科学基金资助项目 (015012, 04010394)。

** 通讯联系人。Tel: 020-85210089, Fax: 020-85216052

E-mail: xingda@scnu.edu.cn

收稿日期: 2006-04-05, 接受日期: 2006-04-20

1 材料与方法

1.1 实验材料

宿主菌(DH5 α)购自北京鼎国生物技术有限责任公司, 质粒 pDsRed-Mit 由 Tsuruta^[13]教授惠赠。p53 cDNA 由叶开河博士(暨南大学药学院)惠赠。人的全长 I κ B α cDNA 是由基因数据库 GenBank 中获得, 基因序列号为 AY033600, 并由广州复能基因公司提供(载体: pRB01-I κ B α)。pECFP-C1 载体源于 Clontech 公司。所用引物均由北京三博远志公司合成。相应的质粒提取试剂盒(Qiagen 公司)、切胶回收试剂盒(上海博亚公司)按操作指南进行使用。所有限制性内切酶及 T4 连接酶来自 TaKaRa 公司,

Plus Taq 酶购于上海生工生物工程有限公司。转染试剂 Lipofectin Reagent 来自 Invitrogen 公司。LMB 源于 Calbiochem 公司。

1.2 质粒构建

质粒 pECFP- I κ B α (1~317)、pECFP- I κ B α M (1~317, Ser32A, Ser36A 丙氨酸)、pECFP- I κ B α 243N(1~243) 和 pECFP- I κ B α 244C(244~317) 的构建载体为 pECFP-C1, 酶切位点 EcoR I 和 BamH I。同时构建了带有红色荧光蛋白的质粒载体 pp53-DsRed(1~393 个氨基酸)和 pp53/47C-DsRed (47~393 个氨基酸), 以 p53cDNA 或 p53/47C 取代 pDsRed-Mit 中的 Mit, 酶切位点为 Nhe I 和 BamH I。构建质粒所需引物见表 1。所有重组子经酶切、PCR 及测序(上海博亚生物技术有限公司)鉴定。

Table 1 Primers and primer sequences

Primer		Sequence	Amino acids
pECFP- I κ B α	FW	5' c cgg aat tca ttc cag gcg gcc gag cgc ccc cag gag tgg gcc atg gag ggc c 3'	1~317
	RV	5' cgc gga tcc tca taa cgt cag acg ctg gcc tcc aaa cac aca gtc 3'	
pECFP- I κ B α M	FW1	5' gag egg cta ctg gac gac cgc eac gac gec ggc ctg gac gcc atg aaa gac gag gag ta 3'	1~317,Ser32A,Ser36A
	FW2	5' g gag tgg gcc atg gag ggc ccc cgc gac ggg ctg aag aag gag cgg cta ctg gac gac c 3'	
	FW3	5' c cgg aat tca ttc cag gcg gcc gag cgc ccc cag gag tgg gcc atg gag ggc c 3'	
	RV	5' cgc gga tcc tca taa cgt cag acg ctg gcc tcc aaa cac aca gtc 3'	
pECFP- I κ B α 243N	FW	5' c cgg aat tca ttc cag gcg gcc gag cgc ccc cag gag tgg gcc atg gag ggc c 3'	1~243
	RV	5' cg gga tcc tta tca atg gtg atg gtg gac atc agc ccc aca ctt 3'	
pECFP- I κ B α 244C	FW	5' gg aat tct aac aga gtt acc tac cag ggc ta 3'	244~317
	RV	5' cgc gga tcc tca taa cgt cag acg ctg gcc tcc aaa cac aca gtc 3'	
pp53-DsRed	FW	5' c tag cta cgg gaa gct tcc acc atg gag gag cgg cag tca gat 3'	1~393
	RV	5' c ggg atc cgg gtc tga gtc agg ccc ttc tgt 3'	
pp53/47C-DsRed	FW	5' c tag cta cgg gaa gct tcc acc atg cgg gac gat att gaa caa t 3'	47~393
	RV	5' c ggg atc cgg gtc tga gtc agg ccc ttc tgt 3'	

FW: Forward primer; RV: Reverse primer.

1.3 细胞转染

肺腺癌细胞 ASTC- α -1(暨南大学医学院病理教研室)培养于 DMEM 培养液中, 其组成为: DMEM (GIBCO)、15% 新生牛血清(杭州四季清生物工程材料研究所)、2 mmol/L 谷氨酰胺、25 mmol/L HEPES、100 U/ml 青霉素、100 mg/L 链霉素, 37°C 5% CO₂ 细胞培养箱进行培养。将 80% 左右汇聚的细胞与 Lipofectin Reagent (Invitrogen 公司) 和一种或两种 0.5 μ g 的质粒载体悬浮液共同培养 10 h 后, 更换新鲜培养液。转染 24~36 h 后, 进行观察, 以空质粒 pECFP-C1 代替 pECFP- I κ B α 做为对照。

1.4 激光共聚焦显微镜观测

待检测细胞置于激光共聚焦显微镜(德国 Zeiss 公司 ConfoCor 2)的恒温培养台上进行观察(37°C, 5% CO₂)。单独的 DsRed 由 543 nm 激光激发(HFT488/543、NFT545、LP560 nm) 观察 p53-DsRed 和 p53/47C-DsRed 的表达; 单独的 CFP 由氩离子激光器(发射波长为 458, 488, 514 nm) 458 nm 激发(HFT458 nm、NFT545 nm、BP470~500 nm), 观测 CFP- I κ B α 及其突变体 CFP- I κ B α M、CFP- I κ B α 243N 和 CFP- I κ B α 244C 在细胞的定位; CFP 和 DsRed 的 FRET, 由 458 nm 激发, 同时观测 CFP (HFT458、NFT515、BP470~500 nm) 和

DsRed (HFT458、NFT515、LP560 nm) 两个通道(荧光共振能量转移通道, FRET 通道), 以及 ratio 图像(通过 Zeiss Rel3.2 图像处理软件计算受体图像除以供体图像所得). UV 照射(150 mJ/cm^2)后实时观察细胞 DsRed/CFP 的比值变化. LMB ($10 \mu\text{g/L}$)作用下观测细胞内各荧光蛋白的分布及其核穿梭过程.

1.5 受体漂白实验

应用 543 nm 的强激光对细胞浆内一定区域的 DsRed 进行漂白, 漂白参数 interation (100), 之后观测漂白区内外 CFP 和 DsRed 两个通道荧光强度变化, 检测 DsRed 漂白程度, 以及 CFP 通道的荧光强度与漂白前相比是否增强.

2 结 果

2.1 p53 在细胞中的表达情况

转染了 p53-DsRed 及其突变体 p53/47C-DsRed 的细胞在转染 36 h 后, 用激光共聚焦显微镜观测. 结果表明, p53 主要分布于胞核中, p53/47C 为缺乏 N 端 46 个氨基酸的 p53 突变体, 其分布与 p53 相似(图 1).

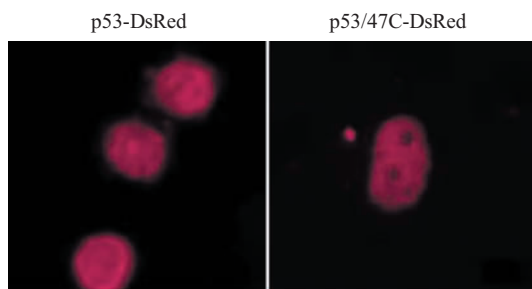


Fig. 1 Microscopy of p53 and p53/47C in living cells

ASTC- α -1 cells transfected with p53-DsRed or p53/47C-DsRed revealed a predominant nuclear localization.

2.2 I κ B α 及突变体 I κ B α M、I κ B α 243N 和 I κ B α 244C 在细胞内的表达情况

用激光共聚焦显微镜观测转染了 pECFP-I κ B α (I κ B α M、I κ B α 243N、I κ B α 244C)质粒的细胞, 结果显示, 无论是 CFP-I κ B α (全长 I κ B α)、CFP-I κ B α M(第 32 和 36 位丝氨酸突变为丙氨酸)、还是 CFP-I κ B α 243N(含有锚蛋白重复序列, 但缺乏 C 端的 PEST 区), 在活体细胞的胞浆及胞核内均有定位, 但主要分布于胞浆中, 而 CFP-I κ B α 244C(含有 C 端的 PEST 区)在胞核的荧光强度则高于胞浆(图 2).

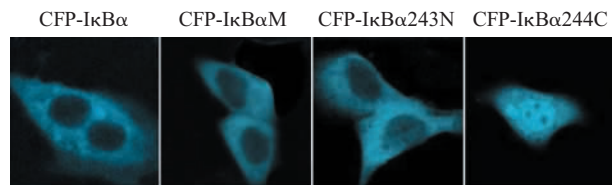


Fig. 2 Localization patterns of I κ B α and its mutants in living cells

Cells were transfected with CFP-I κ B α , CFP-I κ B α M, CFP-I κ B α 243N, and CFP-I κ B α 244C respectively (from left to right panel). CFP-I κ B α , CFP-I κ B α M, and CFP-I κ B α 243N mainly existed in cytoplasm, while cells transfected with CFP-I κ B α 244C revealed a predominant nuclear localization.

2.3 应用 FRET 观察 p53 与 I κ B α 的相互作用

共转染等量的 p53-DsRed 和 CFP-I κ B α 或其突变体时, 出现不同的表达分布(图 3). 共转染 p53-DsRed/CFP- I κ B α 或 p53-DsRed/CFP- I κ B α M 的细胞内, 荧光蛋白均主要分布于胞浆中, 胞核内维持着低水平的表达, ratio 图像(即通过 Zeiss Rel3.2 图像处理软件计算出的受体图像与供体图像的比值)为阳性. 共转染 p53- DsRed 和 CFP-I κ B α 243N 的细胞, CFP-I κ B α 243N 主要分布在胞浆中, 而此时的 DsRed 通道(FRET 通道)胞浆及胞核内均有荧光信号, ratio 图像为阴性. 之后我们用 458 nm 和 543 nm 激光分别激发共转染 p53-DsRed 和 CFP-I κ B α 243N 的细胞, 结果如图 4, 两通道出现了不同的荧光分布, p53-DsRed 主要在核内, 而 CFP-I κ B α 243N 主要分布于胞浆中,

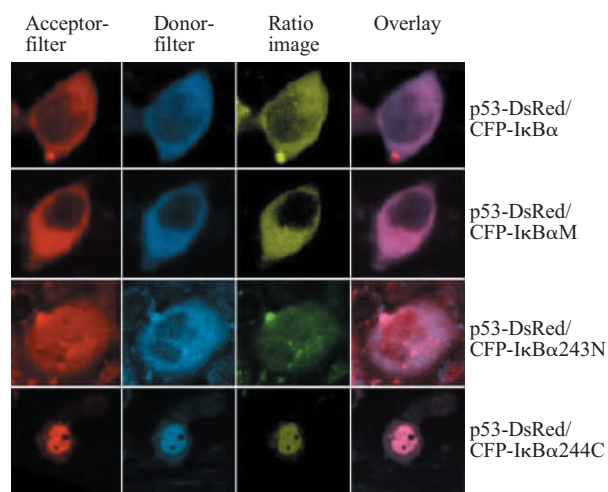


Fig. 3 Interaction of p53 and I κ B α in static cells

The characters on the right showed different co-transfected cells. From the left to right panel were the images of DsRed-channel, CFP-channel, ratio, and the overlay of the former two. The ratio images represent the division of the acceptor filter images by the donor filter images.

I κ B α 243N 并不能影响 p53 的定位, 那么图 3 共转染 p53-DsRed/CFP-I κ B α 243N 的细胞中, 其 FRET 通道内的荧光信号有可能是由于 CFP 的荧光漏到 DsRed 通道和 DsRed 通路中 DsRed 直接被激发的荧光。共转染 p53-DsRed/CFP-I κ B α 244C 的细胞, 其 2 种荧光融合蛋白的分布特点与前面 3 种又有所不同, 胞浆及胞核内均有 p53-DsRed 和 CFP-I κ B α 244C 的表达, 且主要分布于胞核中, 胞浆中仅有微量的表达, ratio 图像为阳性。4 种不同的 I κ B α 在与 p53 进行共转染时, 荧光分布出现了不同的结果。其中 I κ B α 243N 并不能改变 p53 在细胞内的定位。另外, 在共转染的 p53/47C-DsRed 和 CFP-I κ B α 的细胞内, p53/47C-DsRed 主要存在于胞核中, CFP-I κ B α 则主要分布于胞浆中(图 5)。

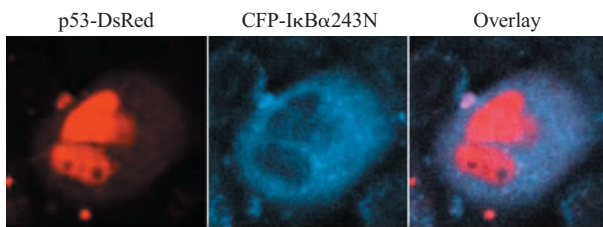


Fig. 4 Localizations of p53-DsRed and CFP-I κ B α 243N in living cells

Cells were transfected with p53-DsRed and CFP-I κ B α 243N. The cell was excited by 458 nm and 543 nm lasers respectively. From the left to right panel were the images of p53-DsRed, CFP-I κ B α 243N and the overlay.

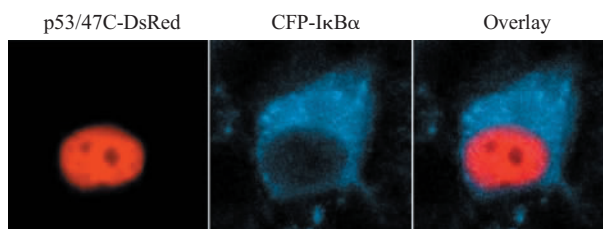


Fig. 5 Location of p53/47C-DsRed and CFP-I κ B α in living cells

Cells were co-transfected with p53/47C-DsRed and CFP-I κ B α 。The cell was excited by 458 nm and 543 nm lasers respectively. From the left to right panel were the images of p53/47C-DsRed, CFP-I κ B α and the overlay。

2.4 受体光漂白技术研究 p53 与 I κ B α 的相互作用

以上实验结果说明 I κ B α 和 I κ B α M 改变或影响了 p53 的定位, 这可能是由于它们与 p53 直接发生了相互作用, 将 p53 定位在胞浆中, 但是也有可能是它们作用于 p53 信号通路中的某一蛋白质, 间

接改变了 p53 的定位。为了确定其作用方式, 我们接着应用受体光漂白技术进一步验证并实时观测漂白区内 p53 与 I κ B α 的相互作用, 结果如图 6a。漂白区内 p53-DsRed 的荧光强度大幅度下降, 已部分被漂白, 漂白区外的 p53-DsRed 的荧光强度也随之降低, 但与漂白区内相比, 其下降幅度较小, 说明在漂白的过程中, 已有 p53-DsRed 分子在漂白区内外自由扩散。而 CFP-I κ B α 在 p53-DsRed 被漂白后, 由于 CFP 的能量不再向已被漂白的 DsRed 转移, 其漂白区内的荧光强度有所增强, 随后 CFP-I κ B α 的荧光强度又有所降低, 表明漂白区内的 CFP-I κ B α 在向外扩散, 同时随着漂白区周围的 p53-DsRed 逐渐进入漂白区, 与之结合的 CFP-I κ B α 也扩散进来, 这部分 p53-I κ B α 复合体中, 能量是可以从 CFP 向 DsRed 转移的, 漂白区

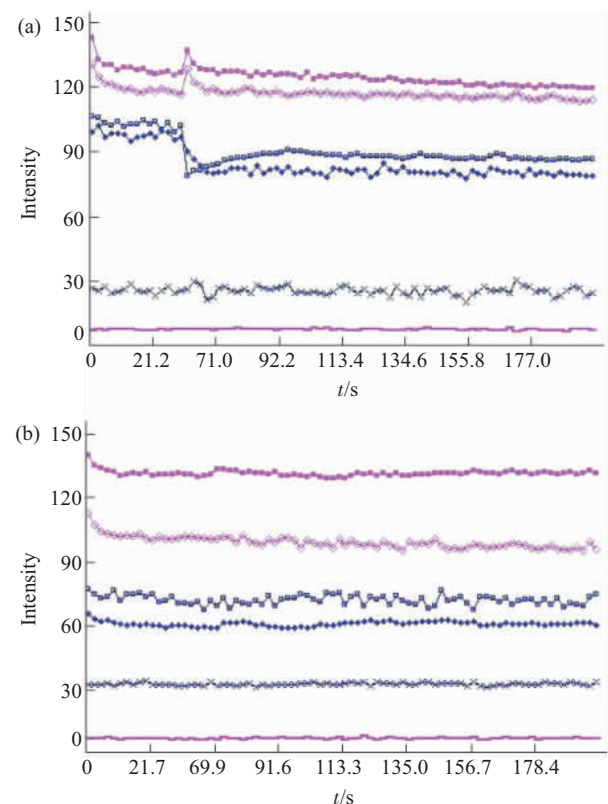


Fig. 6 Interaction of p53 and I κ B α studied by acceptor photobleaching

Cells co-transfected with p53-DsRed/CFP-I κ B α (a) or p53-DsRed/CFP-I κ B α 243N (b) were bleached with 543 nm high intensity laser. Photobleaching time was 29.7~60.4s and 29.7~58.4s respectively. The changing of the intensity of DsRed and CFP was studied. ■: DsRed in the bleaching area; ●: CFP in the bleaching area; ▲: DsRed out of the bleaching area; ×: CFP out of the bleaching area; ×: DsRed of background; —: CFP of background.

外 CFP-I κ B α 的荧光强度也有升高，也提示我们在漂白过程中，有 p53-I κ B α 复合体在漂白区内外自由扩散。随着时间的推移，最终所有分子均达到一定的平衡，进一步验证了原来的 p53-DsRed 和 CFP-I κ B α 间是有相互作用的发生。共转染 p53-DsRed 和 CFP-I κ B α M 也得到相似结果。而共转染 p53-DsRed 和 CFP-I κ B α 243N 的细胞，在应用 543 nm 激光进行漂白后，其荧光强度未发生明显变化(图 6b)。从而在活体细胞内很直观地证明了 I κ B α 与 p53 的直接相互作用关系。

2.5 UV 刺激后 p53 与 I κ B α 相互作用的变化

在本实验中，还应用 UV 刺激共转染荧光融合蛋白的细胞，实时观测受体与供体的比值变化^[14]，即 DsRed/CFP 值的变化。无论 DsRed/CFP 的起始值为多少，如果有 FRET 的发生，则在外界刺激下，势必会引起两蛋白质的分离，CFP 的荧光不再向 DsRed 转移，DsRed 通路内的荧光强度会下降，CFP 通路内的荧光强度将上升，DsRed/CFP 比值必然会降低。由于 I κ B α 可以被降解，所以我们应用第 32 和 36 位丝氨酸发生突变的 I κ B α M。在 UV 刺激后计算细胞内 DsRed/CFP 比值变化，结果如图 7 所示，DsRed/CFP 比值是逐渐降低的，未出现突然下降的现象，这也许是由于两蛋白质的分离过程

并非是单向的，而是双向可逆的过程。未进行 UV 照射的细胞该值基本没有发生变化。

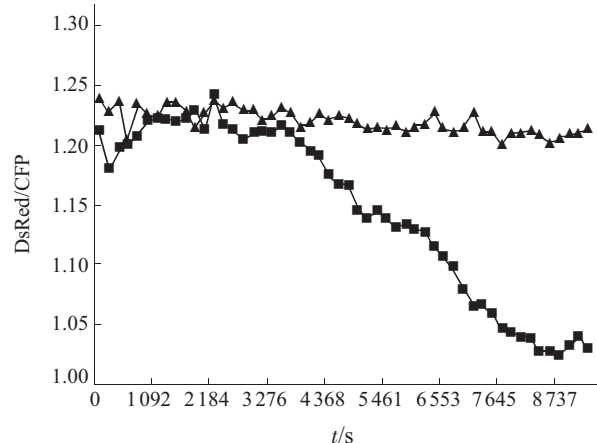


Fig. 7 The changing of DsRed/CFP under UV stimulation

Cells co-transfected with equal amount of p53-DsRed and CFP-I κ B α M, were or were not exposed to UV (150 mJ/cm²) and then cells were observed using the appropriate filter sets. After FRET experiments, the ratio of the DsRed/CFP emission was calculated. ■—■: UV; ▲—▲: without UV.

2.6 p53 与 I κ B α 的核浆穿梭过程

静止细胞中 I κ B α 主分布于胞浆中，但在降低扫描层的厚度，去除胞核上下胞浆对胞核的影响后，结果显示，其实在胞核中也维持有低水平的

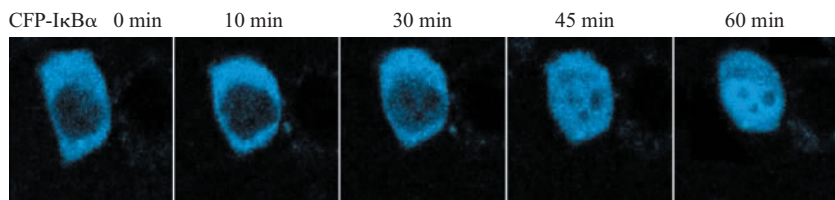


Fig. 8 Translocation of CFP-I κ B α from the cytoplasm to nucleus following treatment with LMB

Cells were transfected with CFP-I κ B α and images show successive sections of CFP-I κ B α transfected cells taken 0、10、30、45 or 60 min after addition of LMB (10 μ g/L)。

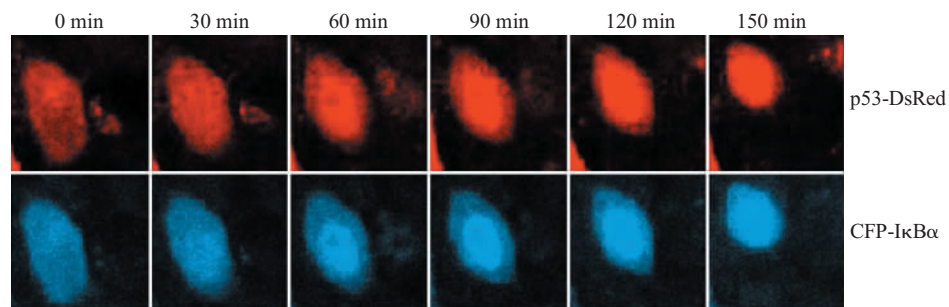


Fig. 9 Shuttling of p53-DsRed and CFP-I κ B α between cytoplasm and nuclear

Cells were co-transfected with p53-DsRed and CFP-I κ B α constructs. Images show consecutive sections of p53-DsRed and CFP-I κ B α transfected cells taken 0, 30, 60, 90, 120, or 150 min after addition of LMB (10 μ g/L)。

I κ B α 的表达。于是应用可抑制 CRM-1 调控核输出过程的特殊抑制剂 LMB, 得到如图 8 所示的结果, 即 LMB 可引起 CFP-I κ B α 向胞核内的积聚(图 8), 加入 LMB 1 h 后, I κ B α 主要分布于核中。在共转染了 p53-DsRed 和 CFP-I κ B α 的细胞在 LMB 处理后, 也出现了 p53-DsRed 和 CFP-I κ B α 的核穿梭过程(图 9)。

3 讨 论

荧光共振能量转移理论(fluorescence resonance energy transfer, FRET)的基本原理是: 在两个不同的荧光基团中, 如果一个荧光基团(供体 donor)的发射光谱和另一个基团(受体 acceptor)的激发光谱有一定的重叠(overlap), 当这两个荧光基团间的距离合适时(一般小于 100 nm), 就可观察到荧光能量由供体向受体转移的现象, 即用前一种基团的激发波长激发时, 可观察到后一种基团发射的荧光。FRET 已被广泛应用于蛋白质-蛋白质间相互作用的研究领域中, 相对于传统的研究方法, 如: 酵母双杂交、免疫共沉淀等等, 其优势主要在于可以在活细胞生理条件下实时、定量、定位、无损伤地对蛋白质-蛋白质间相互作用进行动态研究^[14~16]。本实验应用了 CFP 和 DsRed 荧光融合蛋白, 因为两者的激发光谱与发射光谱合适, 所以是一对极好的检测蛋白质-蛋白质间相互作用的报告分子。

I κ B α 是 NF- κ B 的抑制蛋白, 和其他 I κ B 蛋白家族成员在功能上均可以抑制 NF- κ B 的活性, 通过与 NF- κ B 的结合而将其滞留于胞浆中^[17]。结构上, I κ B α 包含 N 端的锚蛋白重复序列区(ARD 区)和 C 端的 PEST 区。ARD 区与 NF- κ B·I κ B α 复合体的形成有关, I κ B α 的第一个锚蛋白抑制 NF- κ B 活性的作用最强^[18]。核内的 I κ B α 参与抑制 NF- κ B 与靶 DNA 结合, 提高 NF- κ B 从核内向胞浆的输出量。

实验结果显示, CFP-I κ B α 244C 的分布特点很明显与 CFP-I κ B α 、CFP-I κ B α M 和 CFP-I κ B α 243N 不同, 也许是因为其缺乏锚蛋白重复区(ARD)及 N 端的核输出序列^[19]区有关, 因而不能够与内源性的 NF- κ B 结合, 核内的分子也不能被输出至胞浆。由于融合蛋白的分子质量明显较大, CFP-I κ B α 244C 的定位说明其有活跃的核输入过程(图 2)。不同的 I κ B α 突变体与 p53 的作用也不相同, I κ B α 和 I κ B α M 可以影响 p53 的定位, 但 I κ B α 243N 并不能改变 p53 在胞核内的分布特征,

I κ B α 244C 和 p53 则均主要分布于胞核中。另外, 与共转染 p53 和 I κ B α 的结果相比, I κ B α 并不能影响也不能改变 p53/47C-DsRed 的分布。从而直观地说明了 I κ B α 通过其 C 端的 PEST 区可与 p53 在活体细胞内发生相互作用, I κ B α 的 C 端和 p53 的 N 端在 I κ B α ·p53 复合体形成的作用中是非常重要的^[11], 缺少了 I κ B α 的 C 端或 p53 的 N 端会改变两者的分布特征。

胞浆中的 p53·I κ B α 复合体在外界刺激下, I κ B α 可以迅速降解, p53·I κ B α 复合体发生解离, 而 p53 则进入至细胞核中发挥作用, 说明在静止细胞内, I κ B α 对 p53 有着严格的调控过程。静止细胞胞浆和胞核中 p53 的量是非常低的。有一种假设的模型是, 在静止细胞内存在一部分胞浆中的 p53 和 I κ B α 复合体, 其不断地解离, 而允许 p53 的核输入, 从而保持一定水平的细胞功能。细胞核内的 p53 接着与 Mdm2 结合, 被输出至胞浆中, 被泛素化和降解。新合成的 p53 又与 I κ B α 形成复合体, 作为新的胞浆储备。

静止细胞中 I κ B α 主要分布于胞浆中, 胞核中也维持有低水平 I κ B α 的表达, 本实验中应用了可抑制 CRM-1 调控核输出过程的特殊抑制剂 LMB (leptomycin B), 引起 I κ B α 向胞核内的积聚(图 8)。I κ B α 的核输入是独立于 NF- κ B 蛋白的^[20], I κ B α 的第二个锚蛋白重复序列与其核定位有关^[21]。I κ B α 的核浆穿梭过程, 使 I κ B α 能够与核内过多的 NF- κ B 结合, 将其带至胞浆中^[22], 以防止 NF- κ B 分子过量激活, 维持其处于低活性状态, 以诱导一些重要的与基础过程有关的基因转录, 如细胞周期蛋白 CYCLIND1 等^[8, 23, 24]。上游的信号激酶 NIK 和 IKK, 其他与 I κ B α 降解有关的结构, 如泛素小体、蛋白酶, 也存在于胞核内^[25, 26], 也解释了 I κ B α 核穿梭的意义。共转染 p53-DsRed 和 CFP-I κ B α 的细胞在 LMB 处理后, 也出现了 p53-DsRed 和 CFP-I κ B α 的核穿梭过程。那么 I κ B α 核穿梭的意义并不仅仅在于调控 NF- κ B 的活性, 也必然与 p53 的作用相关。这些激酶在核内表现出某种基础的酶活性, 必然也会调节核内 I κ B α 与 p53 的相互作用。另外, p53 和 I κ B α 核浆穿梭的原因是否与 I κ B α 和 NF- κ B 一样, 是由于复合体的解离引起^[26], 还是 p53·I κ B α 复合体直接的核输入或 I κ B α 的降解与再合成所致, 仍需要进一步的探索, 但 p53·I κ B α 复合体的核穿梭速度与单独 I κ B α 的核穿梭速度差不多, 提示我们, p53·I κ B α 复合体的解离可能不

是该复合体核穿梭的限速过程。

$\text{I}\kappa\text{B}\alpha$ 可以通过 ARD 区与 NF- κB 形成 NF- $\kappa\text{B}\cdot\text{I}\kappa\text{B}\alpha$ 复合体，也可通过 C 端的 PEST 区与 p53 形成 p53· $\text{I}\kappa\text{B}\alpha$ 复合体，由于 $\text{I}\kappa\text{B}\alpha$ 与 p53 和 NF- κB 相互作用的位点并不冲突，那么，是否有 NF- $\kappa\text{B}\cdot\text{I}\kappa\text{B}\alpha\cdot\text{p}53$ 复合体的存在呢？p53、NF- κB 和 $\text{I}\kappa\text{B}\alpha$ 之间到底是如何调控的呢？有文献报道，NF- κB 是 p53 调控的程序性细胞死亡过程中一个联合因子^[27]，是否是因为外界的刺激使得 $\text{I}\kappa\text{B}\alpha$ 降解，而同时将 NF- κB 和 p53 释放出来？也有文献报道，p53 和 $\text{I}\kappa\text{B}\alpha$ 可以协同作用提高细胞的死亡^[11]，是否与 $\text{I}\kappa\text{B}\alpha$ 和 p53 结合，增加了 p53 的稳定性，抑制了 Mdm2 调控的 p53 降解作用有关呢？而 WOX1 也可与 p53 相互作用^[28]，WOX1 和 $\text{I}\kappa\text{B}\alpha$ 间是否存在竞争性抑制作用？NF- κB 、 $\text{I}\kappa\text{B}\alpha$ 、p53、Mdm2 和 WOX1 相互之间的关系是非常复杂的，也是需要进一步研究以确定的。综上所述，本实验应用 FRET 技术在活体细胞内实时研究 p53 和 $\text{I}\kappa\text{B}\alpha$ 间的相互作用，并实时观察细胞内 p53 与 $\text{I}\kappa\text{B}\alpha$ 核穿梭的动态过程，探讨 p53· $\text{I}\kappa\text{B}\alpha$ 复合体及核穿梭的意义， $\text{I}\kappa\text{B}\alpha$ 蛋白可能已经成为 p53 和 NF- κB 两条信号通路的一个串话分子，关于这一热点问题在今后的细胞生物学研究中将会继续受到重视，并会有更多的发现。

参 考 文 献

- Huguet C, Crepieux P, Laudet V. Rel/NF- κB transcription factors and $\text{I}\kappa\text{B}$ inhibitors: evolution from a unique common ancestor. *Oncogene*, 1997, **15** (24): 2965~2974
- Whiteside S T, Israel A. $\text{I}\kappa\text{B}$ proteins: structure, function and regulation. *Semin Cancer Biol*, 1997, **8** (2): 75~82
- May M J, Ghosh S. Rel/NF- κB and $\text{I}\kappa\text{B}$ proteins: an overview. *Semin Cancer Biol*, 1997, **8** (2): 63~73
- Han Y, Weinman S, Boldogh I, et al. Tumor necrosis factor-alpha-inducible I kappa B alpha proteolysis by aytosohzm-clerated by cytosolic m-calpain. A mechanism parallel to the ubiquitin-proteasome pathway for nuclear factor-kappa B activation. *J Biol Chem*, 1999, **274** (2): 787~794
- Nasuhera Y, Adecock I M, Catley M, et al. Differential ikappa B kinase activation and ikappa B alpha degradation by interleukin-1beta and tumor necrosis factor-alpha in human U937 monocytic cells. *J Biol Chem*, 1999, **274** (28): 19965~19972
- 萨其拉, 刘孟珉, 贺福初. TNF 受体家族介导的细胞凋亡信号转导. 生物化学与生物物理进展, 1999, **26** (4): 327~330
Satschra, Liu M M, He F C. *Prog Biochem Biophys*, 1999, **26** (4): 327~330
- Yang L, Chen H B, Qwarnstrom E. Degradation of $\text{I}\kappa\text{B}\alpha$ is limited by a postphosphorylation/ubiquitination event. *Biochem Biophys Res Commun*, 2001, **285**: 603~608
- Pahl H L. Activators and target genes of Rel/NF- κB transcription factors. *Oncogene*, 1999, **18**: 6853~6866
- Yamamoto Y, Gaynor R B. $\text{I}\kappa\text{B}$ kinases: key regulators of the NF- κB pathway. *Trends Biochem Sci*, 2004, **29** (2): 72~79
- 张劲松, 王兴宇, 单佑安等. 转录因子 NF- κB 的研究进展. 科学通报, 2002, **47** (5): 323~329
Zhang J S, Wang X Y, Shan Y A, et al. *Chinese Science Bulletin*, 2002, **47** (5): 323~329
- Chang N S. The non-ankyrin C terminus of $\text{I}\kappa\text{B}\alpha$ physically interacts with p53 *in vivo* and dissociates in response to apoptotic stress, hypoxia, DNA damage, and transforming growth factor- β -mediated growth suppression. *J Biol Chem*, 2002, **277** (12): 10323~10331
- Fujioka S, McLabas G M, Schmidt C, et al. Inhibition of constitutive NF- κB activity by $\text{I}\kappa\text{B}\alpha\text{M}$ suppresses tumorigenesis. *Oncogene*, 2003, **22**: 1365~1370
- Tsuruta F, Masuyama N, Gotoh Y. The phosphatidylinositol 3-kinase (PI3K)-Akt pathway suppresses bax translocation to mitochondria. *J Biol Chem*, 2002, **277**, **16** (19): 14040~14047
- 王进军, 陈小川, 邢达. FRET 技术及其在蛋白质-蛋白质分子相互作用研究中的应用. 生物化学与生物物理进展, 2003, **30** (6): 980~984
Wang J J, Chen X C, Xing D. *Prog Biochem Biophys*, 2003, **30** (6): 980~984
- Kenworthy A K. Imaging protein-protein interactions using fluorescence resonance energy transfer microscopy. *Methods*, 2001, **24**: 289~296
- Sekar R B, Periasamy A. Fluorescence resonance energy transfer (FRET) microscopy imaging of live cell protein localizations. *J Cell Biol*, 2003, **160** (5): 629~633
- Jacobs M D, Harrison S C. Structure of an $\text{I}\kappa\text{B}\alpha/\text{NF-}\kappa\text{B}$ complex. *Cell*, 1998, **95** (6): 749~758
- Simeonidis S, Stauber D, Chen G Y, et al. Mechanisms by which $\text{I}\kappa\text{B}$ proteins control NF- κB activity. *Biochemistry*, 1999, **96** (1): 49~54
- Johnson C, Van Antwerp D, Hope T J. An N-terminal nuclear export signal is required for the nucleocytoplasmic shuttling of IkappaBalpha. *EMBO J*, 1999, **18** (23): 6682~6693
- Carlotti F, Dower S K, Qwarnstrom E E. Dynamic shuttling of nuclear factor- κB between the nucleus and cytoplasm as a consequence of inhibitor dissociation. *J Biol Chem*, 2000, **275** (52): 41028~41034
- Sachdev S, Hoffmann A, Hannink M. Loss of $\text{I}\kappa\text{B}\alpha$ -mediated control over nuclear import and DNA binding enables oncogenic activation of c-Rel. *Mol Cell Biol*, 1998, **18** (9): 2524~2534
- 沈利群, 徐祥, 吕凤林, 等. 核因子- κB 的跨核膜转运及其调控机制. 生物化学与生物物理进展, 2002, **29** (3): 368~371
Shen L Q, Xu X, Lu F L, et al. *Prog Biochem Biophys*, 2002, **29** (3): 368~371
- Hinz M, Krappmann D, Eichten A, et al. NF-kappaB function in growth control: regulation of cyclin D1 expression and

- G0/G1-to-S-phase transition. Mol Cell Biol, 1999, **19**(4): 2690~2698
- 24 Joyce D, Albanese C, Steer J, et al. NF- κ B and cell-cycle regulation: the cyclin connection. Cytokine Growth F R, 2001, **12**: 73~90
- 25 Birbach A, Gold P, Binder B R, et al. Signaling molecules of the NF- κ B pathway shuttle constitutively between cytoplasm and nucleus. J Biol Chem, 2002, **277** (13): 10842~10851
- 26 Reits E A, Benham A M, Plougastel B, et al. Dynamics of proteasome distribution in living cells. EMBO J, 1997, **16** (20): 6087~6094
- 27 Ryan K M, Ernst M K, Rice N R, et al. Role of NF- κ B in p53-mediated programmed cell death. Nature, 2002, **404** (20): 892~897
- 28 Chang N S. A potential role of p53 and WOX1 in mitochondrial apoptosis (Review). Int J Mol Med, 2002, **9**: 19~24

Interaction of p53 and Inhibitor of NF- κ B alpha and Their Shuttling Between Cytoplasm and Nucleus Observed in Living Cells*

LI Xian¹⁾, XING Da^{1)**}, CHEN Xiao-Jia²⁾, TANG Yong-Hong¹⁾, SUN Fen-Yong²⁾, WANG Ju²⁾, HONG An²⁾, WU Yun-Xia¹⁾

(¹)Institute of Laser Life Science, South China Normal University, Guangzhou 510631, China;

(²)Institute of Biology Engineering, Jinan University, Guangzhou 510632, China)

Abstract Six fluorescent fusion protein plasmids were constructed, and the location and interaction of p53 and I κ B α (I κ B α M, I κ B α 243N and I κ B α 244C) in living cells were investigated with cyan (CFP) and red fluorescent protein(DsRed) fusion proteins by fluorescence resonance energy transfer. p53 interacts with the non-ankyrin C terminus PEST domain of I κ B α , and the N terminus in p53 plays an important role in the formation of p53·I κ B α complex. The change of DsRed/CFP in response to UV-mediated DNA damage was observed in real time and the balance between p53·I κ B α complex formation and dissociation was discussed. In addition, the shuttling of p53 and I κ B α between cytoplasm and nucleus under LMB stimulation suggested that the relationship among NF- κ B, p53, I κ B α , Mdm2, and WOX1 is complicated and remains to be determined. I κ B α has been an important cross-talk protein between p53 and NF- κ B, and this might expand the understanding of these two signaling pathways considerably.

Key words: p53, inhibitor of NF- κ B alpha (I κ B α), nuclear factor- κ B (NF- κ B), fluorescence resonance energy transfer

*This work was supported by grants from The National Natural Science Foundation of China (60378043, 30470494), The Natural Science Foundation of Guangdong Province (015012, 04010394).

**Corresponding author . Tel: 86-20-85210089, Fax: 86-20-85216052, E-mail: xingda@scnu.edu.cn

Received: April 5, 2006 Accepted: April 20, 2006